

## ВЕРХНЕЕ КРИТИЧЕСКОЕ ПОЛЕ СВЕРХПРОВОДНИКА ВБЛИЗИ АНДЕРСОНОВСКОГО ПЕРЕХОДА МЕТАЛЛ—ДИЭЛЕКТРИК

Э.З.Кучинский, М.В.Садовский

Институт электрофизики УрО АН СССР, 620219, Екатеринбург

Статья поступила в редакцию 5 июля 1991 г.,  
принята к печати 16 июля 1991 г.

**Ключевые слова:** локализация, самосогласованная теория, магнитное поле, коэффициент диффузии, неинвариантность относительно обращения времени.

Рассчитана температурная зависимость орбитального верхнего критического поля  $H_{c2}$  сверхпроводника, находящегося вблизи перехода Андерсона, с учетом обратного влияния магнитного поля на коэффициент диффузии (нарушения инвариантности относительного обращения времени). Получены существенные отклонения от предсказаний стандартной теории "грязных" сверхпроводников. Уточнены и обобщены закономерности поведения  $H_{c2}(T)$  вблизи порога локализации. Обратное влияние поля на диффузию оказывается наиболее существенным при рассмотрении  $H_{c2}$  сверхпроводника, находящегося в области локализации.

### ВВЕДЕНИЕ

Теория "грязных" сверхпроводников [1—4] является основой количественного описания сверхпроводящих свойств неупорядоченных металлов. С развитием теории сильно неупорядоченных систем стало ясно, что основные результаты теории должны быть изменены для области длин свободного пробега  $l$  порядка обратного импульса Ферми  $p_F^{-1}$  (далее мы полагаем  $\hbar = 1$ ), то есть порядка межатомного расстояния. Впервые такое обобщение было проведено в работах [5, 6] на основе использования самосогласованной теории локализации в форме, предложенной Фоллхардом и Вольфле [7, 8]. При этом было показано, что сверхпроводимость может, в принципе, сохраняться даже в фазе андерсоновского диэлектрика (хоть и с сильно подавленной температурой перехода  $T_c$ ) пока система достаточно близка к переходу Андерсона, так что радиус локализации электронов  $R_{loc}$  достаточно велик и выполняется условие:

$$\frac{1}{N(E)R_{loc}^3} \ll T_c, \Delta, \quad (1)$$

где  $N(E)$  — плотность состояний на уровне Ферми  $E$ ,  $\Delta$  — сверхпроводящая щель.

Наиболее яркие отклонения от предсказаний стандартной теории "грязных" сверхпроводников проявляются в поведении верхнего критического поля  $H_{c2}$ . В частности, существенно изменяется [5, 6] известное соотношение Горькова [2] для  $(dH_{c2}/dT)_{T_c}$ , а также качественная форма температурной зависимости  $H_{c2}(T)$ , которая для системы, находящейся на пороге подвижности, приобретает положительную кривизну. Вместе с тем, в работах [5, 6] не был проведен подробный анализ поведения  $H_{c2}(T)$  для различных степеней беспорядка, а также, что более существ-

венно, не было учтено обратное влияние магнитного поля на коэффициент диффузии, которое становится весьма существенным для системы, находящейся вблизи перехода Андерсона, и проявляется в известном эффекте отрицательного магнето-сопротивления [9, 10]. Данное обстоятельство было связано с использованием в [5, 6] результатов самосогласованной теории локализации [7, 8], построенной для случая отсутствия внешнего магнитного поля и существенно использующей инвариантность относительно обращения времени. Хорошо известно, что при нарушении такой инвариантности самосогласованная теория должна быть существенным образом перестроена [10] и анализ задачи о  $H_{c2}(T)$  в сильно неупорядоченном сверхпроводнике должен проводиться на основе соответствующих обобщенных уравнений. Данная работа посвящена, в основном, решению этой задачи.

## I. ОБЩИЕ СООТНОШЕНИЯ

Температура сверхпроводящего перехода  $T_c$  определяется [4] линеаризованным уравнением для щели:

$$\Delta(\mathbf{r}) = \int d\mathbf{r}' K(\mathbf{r}, \mathbf{r}') \Delta(\mathbf{r}'). \quad (2)$$

Ядро  $K(\mathbf{r}, \mathbf{r}')$  в представлении точных собственных функций электрона в неупорядоченной системе  $\varphi_\mu(\mathbf{r})$ , отвечающих собственным значениям  $\epsilon_\mu$ , имеет вид:

$$K(\mathbf{r}, \mathbf{r}') = gT \sum_{\epsilon_n} \sum_{\mu\nu} \frac{\varphi_\nu^*(\mathbf{r}') \varphi_\mu^*(\mathbf{r}') \varphi_\nu(\mathbf{r}) \varphi_\mu(\mathbf{r})}{(\epsilon_\nu - i\epsilon_n)(\epsilon_\mu + i\epsilon_n)}, \quad (3)$$

где  $\epsilon_n = 2\pi T(n + 1/2)$  — мацубаровская частота,  $g$  — константа спаривательного БКШ взаимодействия.

В дальнейшем мы вынуждены будем работать в предположении о самоусредняемости сверхпроводящего параметра порядка, означающего, что при усреднении (2) по конфигурациям случайного поля в неупорядоченной системе можно провести расцепление по обычной схеме [4]:

$$\langle K(\mathbf{r}, \mathbf{r}') \Delta(\mathbf{r}') \rangle \approx \langle K(\mathbf{r}, \mathbf{r}') \rangle \langle \Delta(\mathbf{r}') \rangle. \quad (4)$$

Как было показано в работах [11—13], это предположение становится несправедливым как раз в интересующей нас окрестности перехода Андерсона, однако (4) сохраняет смысл приближения “среднего поля” по “статистическим” флюктуациям и является необходимым первым шагом к последующему анализу, учитывающему эти флюктуации.

Введем следующие двухчастичные мацубаровские функции Грина электрона в импульсном представлении [6]:

$$\Psi_E(q\omega_m \epsilon_n) = -\frac{1}{2\pi i} \sum_{\mathbf{pp}'} \langle G(\mathbf{p}_+ \mathbf{p}'_+ - \epsilon_n + \omega_m) G(-\mathbf{p}'_- - \mathbf{p}_- - \epsilon_n) \rangle; \\ (5)$$

$$\Phi_E(q\omega_m \epsilon_n) = -\frac{1}{2\pi i} \sum_{\mathbf{pp}'} \langle G(\mathbf{p}_+ \mathbf{p}'_+ - \epsilon_n + \omega_m) G(\mathbf{p}'_- \mathbf{p}_- - \epsilon_n) \rangle,$$

где  $\mathbf{p}_\pm = \mathbf{p} \pm \mathbf{q}/2$ ;  $\omega_m = 2\pi m T$ .

Графически эти функции показаны на рис. 1. Сверхпроводящие свойства определяются функцией Грина  $\Psi_E$ , описывающей распространение электронной пары, тогда как  $\Phi_E$  определяет кинетические свойства нормального металла и переход Андерсона.

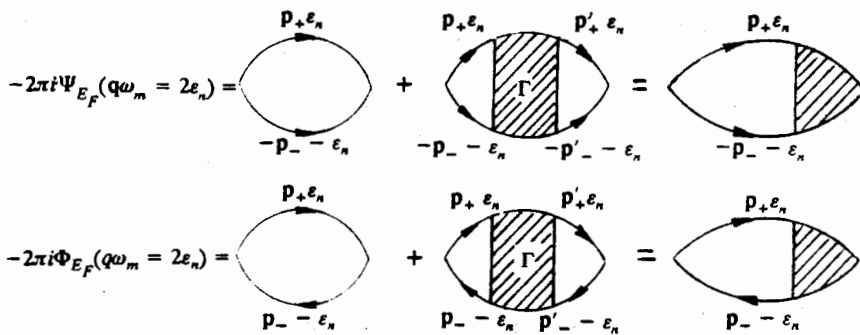


Рис. 1. Графическое представление двухчастичной функции Грина  $\Psi_{E_F}(q, \omega_m)$  и  $\Phi_{E_F}(q, \omega_m)$  (при  $\omega_m = 2\epsilon_n$ ). Суммирование по  $\epsilon_n$  в электронных петлях отсутствует

В случае инвариантности системы относительно операции обращения времени, то есть в отсутствие внешнего магнитного поля и магнитных примесей, имеем:

$$\Psi_E(q\omega_m\epsilon_n) = \Phi_E(q\omega_m\epsilon_n). \quad (6)$$

При наличии внешнего поля  $H$  необходимо рассматривать связанную систему уравнений для обеих функций [10]. Для малых  $q$  и  $\omega_n$  имеем обычное диффузионное представление:

$$\frac{\Phi_E(q\omega_m\epsilon_n)}{\Psi_E(q\omega_m\epsilon_n)} = - \frac{N(E)}{i|\omega_m| + i\left[D_1(\omega_m)\right]q^2}, \quad (7)$$

где "коэффициенты диффузии"  $D_1$  и  $D_2$ , вообще говоря, не равны друг другу. В отсутствие внешнего магнитного поля  $D_1 = D_2 = D$  — обычный обобщенный коэффициент диффузии.

Фурье-образ интересующего нас усредненного ядра (3) равен

$$K(q) = -gT \sum_{\epsilon_n} 2\pi i \Psi_E(q\omega_m = 2\epsilon_n) \quad (8)$$

и определяется "коэффициентом диффузии"  $D_2(\omega_m)$ .

Повторяя стандартную схему рассмотрения сверхпроводящего перехода во внешнем магнитном поле [4], получаем уравнение, определяющее температурную зависимость  $H_{c2}(T)$  в виде:

$$\ln(T/T_c) = 2\pi T \sum_{\epsilon_n} \left\{ \frac{1}{2|\epsilon_n| + 2\pi D_2(2|\epsilon_n|) \frac{H}{\Phi_0}} - \frac{1}{2|\epsilon_n|} \right\}, \quad (9)$$

где  $\Phi_0 = \frac{\pi c}{e}$  — квант магнитного потока,  $T_c \cong \langle\omega\rangle e^{-\frac{1}{8N(E)}}$  — температура перехода теории БКШ в отсутствие магнитного поля ( $\langle\omega\rangle$  — средняя частота квантов, обеспечивающих спаривающее взаимодействие, например фононов).

Отметим обычные условия применимости уравнения (9) [4]:

$$1. R_H = \frac{mcu_F}{eH} >> \xi, \quad (10)$$

где  $v_F$  — фермиевская скорость,  $R_H$  — ларморовский радиус электрона в поле  $H$ ,  $\xi$  — длина когерентности, которая для случая “грязных” сверхпроводников имеет вид  $\sim (\xi_0 l)^{1/2}$ , где  $\xi_0 = 0,18 \frac{\hbar v_F}{T_c}$  и  $l$  — длина свободного пробега, а в случае близости к переходу Андерсона ( $l$  порядка межатомного расстояния)  $\xi \sim (\xi_0 l^2)^{1/3}$  [5, 6].

2. Уравнение (9) учитывает только орбитальный вклад в  $H_{c2}$ . Фактически  $H_{c2}$  ограничено также парамагнитным пределом [4]:

$$\frac{1}{2} g_0 \mu_B H < \Delta, \quad (11)$$

где  $g_0 \mu_B H$  — спиновое расщепление;  $g_0$  — обычный  $g$ -фактор электрона;  $\mu_B = \frac{e\hbar}{2mc}$  — магнетон Бора.

Стандартный анализ теории “грязных” сверхпроводников [2, 4] основан на замене  $D_2(2\varepsilon_n)$  в (9) на друдевский коэффициент диффузии  $D_0$ , что вполне оправдано для металла с  $l > p_F^{-1}$  в пренебрежении квантовыми поправками к коэффициенту диффузии [9]. Для системы, находящейся вблизи перехода Андерсона, нужно учитывать как частотную зависимость коэффициента диффузии, так, вообще говоря, и неравенство  $D_1 \neq D_2$ . Последующее изложение посвящено подробному анализу уравнения (9).

## II. ОСНОВНЫЕ РЕЗУЛЬТАТЫ

### 1. Самосогласованная теория локализации в слабом магнитном поле

Самосогласованная теория локализации электронов в неупорядоченных системах, предложенная Фоллхардом и Вольфле [7, 8], существенно опиралась на наличие инвариантности относительно обращения времени. При наличии внешнего магнитного поля в системе такая инвариантность нарушается. В работе [10] была предложена схема самосогласованной теории с двумя релаксационными ядрами (коэффициентами диффузии) в диффузионном и куперовском каналах соответственно. В работах [14, 15] в этой схеме были получены результаты для поведения коэффициента диффузии в диффузионном канале. Нас же больше будет интересовать коэффициент диффузии в куперовском канале, который входит в уравнение для верхнего критического поля (9).

Самосогласованная система уравнений для релаксационных ядер  $M_1$  и  $M_2$  [10] соответственно в диффузионном и куперовском каналах имеет вид:

$$\left\{ \begin{array}{l} M_2 = \frac{i}{\tau} - 2U_0 \sum_{|q| < q_0} \left( \omega - \frac{D_0 q^2}{\tau M_1} \right)^{-1}; \\ M_1 = \frac{i}{\tau} - 2U_0 \sum_{n=0}^{N_0} \frac{1}{\pi L_H^2} \int_0^{\sqrt{q_0^2 - 4m\omega_H(n+1/2)}} \frac{dq_2}{2\pi} \left( \omega - \frac{D_0}{\tau M_2} [q_2^2 + 4m\omega_H(n+1/2)] \right)^{-1}. \end{array} \right. \quad (12)$$

Здесь  $U_0 = \rho u^2$ , где  $\rho$  — концентрация примесей,  $u$  — их потенциал;  $\tau^{-1} = 2\pi U_0 N(E)$  — борновская частота рассеяния на примесях;  $L_H = (c/eH)^{1/2}$  — магнитная длина;  $\omega_H = eH/mc$  — циклотронная частота;  $N_0 = q_0^2/4m\omega_H$ .

Для сходимости суммирования по импульсу введен импульс обрезания  $q_0 = x_0 p_F$ , где  $x_0$  — параметр обрезания,  $p_F$  — импульс Ферми. В металлической фазе в качестве импульса обрезания выбираем  $l^{-1}$ , где  $l$  — длина свободного пробега; в диэлектрической фазе, где  $l^{-1} > p_F$ , выбираем  $q_0 \sim p_F$ .

Введем безразмерный параметр  $\lambda = 1/2\pi Et$ , характеризующий степень беспорядка, и обобщенные коэффициенты диффузии в диффузионном и куперовском каналах  $D_j = iD_0/\tau M_j$  ( $j = 1, 2$ ), которые тоже представим в безразмерном виде  $d_j = D_j/D_0$ .

Используя формулу Пуассона для суммы по уровням Ландау во втором уравнении в (12), можно выделить обычный вклад в коэффициент диффузии, не зависящий от магнитного поля, и вклад определяемый полем.

Система уравнений (12) в этом случае перепишется в виде:

$$\begin{cases} d_2 = \left(1 + \frac{3\lambda x_0 - \delta_1}{d_1}\right)^{-1}; \\ d_1 = \left(1 + \frac{3\lambda x_0 - \delta_2 - \Delta_2}{d_2}\right)^{-1}, \end{cases} \quad (13)$$

где

$$\delta_j = \left(\frac{3}{2}\pi\lambda\right)^{\nu_2} (-i\omega/E)^{\nu_2} d_j^{-\nu_2}; \quad (14)$$

$$\Delta_2 = -3\lambda x_0 \sum_{p=1}^{\infty} (-1)^p \int_0^1 dx 2 \int_0^{\sqrt{1-x}} \frac{dy \cos(2\pi p x x_0^2/c^2)}{y^2 + x + \frac{3}{2}\pi\lambda(-i\omega/E) \frac{1}{d_2 x_0^2}}. \quad (15)$$

Здесь  $c = (2\omega_H/E)^{\nu_2}$ .

Ограничившись в (13) лишь членами, линейными по поправкам  $\delta_1$ ,  $\delta_2$  и  $\Delta_2$ , получаем:

$$d_1/d_2 = 1 + \frac{\Delta_2}{1 + 3\lambda x_0}. \quad (16)$$

Подставляя (16) в (13), получаем уравнение для коэффициента диффузии в куперовском канале:

$$d_2 = 1 - 3\lambda x_0 + \delta_2 + \frac{3\lambda x_0}{1 + 3\lambda x_0} \Delta_2. \quad (17)$$

Введем  $\Delta_1$ , которая отличается от  $\Delta_2$  заменой  $d_2$  на  $d_1$ . Учтя, что различие между  $\delta_1$  и  $\delta_2$ , а также  $\Delta_1$  и  $\Delta_2$  является поправкой более высокого порядка малости, чем сами эти величины, мы можем записать уравнение для коэффициента диффузии в диффузионном канале:

$$d_1 = 1 - 3\lambda x_0 + \delta_1 + \frac{1}{1 + 3\lambda x_0} \Delta_1. \quad (18)$$

Легко видеть, что в отсутствие магнитного поля ( $\Delta_2 = \Delta_1 = 0$ ) уравнения (17) и (18) одинаковы и совпадают с уравнением, получаемым в рамках самосогласованной теории Фоллхарда и Вольфле [8].

Уравнение (17) может быть переписано в несколько ином виде:

$$2mD_2 = \pm(\omega_c/E)^{\nu_3} + (-i\omega/E)^{\nu_2}(2mD_2)^{-\nu_2} + \frac{3\lambda x_0}{1+3\lambda x_0} \Delta_2, \quad (19)$$

где “+” — соответствует металлической фазе, “-” — диэлектрической, а характеристическая частота

$$\omega_c = (11 - 3\lambda x_0 / \frac{3}{2}\pi\lambda)^3 E \quad (20)$$

играет роль параметра беспорядка и разделяет области с различным частотным поведением коэффициента диффузии.

Поправка от магнитного поля  $\Delta_2$  определяется выражением (15). Отбросив в нем вклады осциллирующие по полю (эти осцилляции связаны с наличием фиксированной границы обрезания по импульсу и при размытии этой границы зануляются), получаем:

$$\Delta_2 = -(2\omega_H/E)^{\nu_2} \sum_{p=1}^{\infty} \frac{(-1)^p}{p^{\nu_2}} f(2\pi\rho x),$$

где

$$f(y) = \sqrt{2/\pi} \int_0^{\infty} \frac{\cos(t)dt}{\sqrt{t+y}}; \quad x = \frac{-i\omega/E}{2\omega_H/E} \frac{1}{2mD_2}.$$

Или

$$\Delta_2 = \begin{cases} W(2\omega_H/E)^{\nu_2}, & |x| \ll 1 \text{ или } \omega_H \gg \omega/2mD_2, \\ \frac{1}{48} \left( (-i\omega/E) \frac{1}{2mD_2} \right)^{-\nu_2} (2\omega_H/E)^2, & |x| \gg 1 \text{ или } \omega_H \ll \omega/2mD_2, \end{cases} \quad (21)$$

$$\text{где } W = - \sum_{p=1}^{\infty} \frac{(-1)^p}{p^{\nu_2}} \approx 0,603.$$

Запишем решение уравнения (19) в некоторых частных случаях.

I. Вдали от точки андерсоновского перехода ( $\omega_c/E \gg (\omega_H/E)^{\nu_2}$ ).

1.  $D_2 = \frac{1}{2m} \left\{ (\omega_c/E)^{\nu_3} + \left[ \frac{3\lambda x_0}{1+3\lambda x_0} \right] w(2\omega_H/E)^{\nu_2} \right\} \begin{array}{l} \text{металл } (3\lambda x_0 < 1) \\ \omega \ll \omega^* \ll \omega_c \end{array};$
2.  $D_2 = \frac{1}{2m} \left\{ (\omega_c/E)^{\nu_3} + \left[ \frac{3\lambda x_0}{1+3\lambda x_0} \right] \frac{1}{48} \frac{(\omega_c/E)^{\nu_2}}{(-i\omega/E)^{\nu_2}} (2\omega_H/E)^2 \right\} \begin{array}{l} \text{металл} \\ \omega^* \ll \omega \ll \omega_c \end{array};$
3.  $D_2 = \frac{1}{2m} \left\{ (-i\omega/E)^{\nu_3} + \frac{2}{3} \left[ \frac{3\lambda x_0}{1+3\lambda x_0} \right] \frac{1}{48} \frac{(2\omega_H/E)^2}{(-i\omega/E)} \right\} \omega > > \omega_c; \quad (22)$
4.  $D_2 = \frac{1}{2m} \left\{ \frac{(-i\omega/E)}{(\omega_c/E)^{\nu_3}} + 2 \left[ \frac{3\lambda x_0}{1+3\lambda x_0} \right] \frac{1}{48} \frac{(2\omega_H/E)^2}{(\omega_c/E)} \right\} \begin{array}{l} \text{диэлектрик } (3\lambda x_0 > 1) \\ \omega \ll \omega_c \end{array},$

$$\text{где } \omega^* = \frac{2}{(48W)^{\frac{1}{2}}} (\omega_c/E)^{\frac{1}{2}} \omega_H.$$

II. Вблизи перехода, наблюдаемого в отсутствие магнитного поля  
( $\omega_c/E \ll (\omega_H/E)^{\frac{1}{2}}$ ).

$$1. D_2 = \frac{1}{2m} \left\{ \pm (\omega_c/E)^{\frac{1}{2}} + \left[ \frac{3\lambda x_0}{1 + 3\lambda x_0} \right] W(2\omega_H/E)^{\frac{1}{2}} \right\} \approx \frac{1}{4m} W(2\omega_H/E)^{\frac{1}{2}} \quad \omega \ll \omega_c' ;$$

$$2. D_2 = \frac{1}{2m} \left\{ (-i\omega/E)^{\frac{1}{2}} + \frac{2}{3} \left[ \frac{3\lambda x_0}{1 + 3\lambda x_0} \right] \frac{1}{48} \frac{(2\omega_H/E)^2}{(-i\omega/E)} \right\} \quad \omega > > \omega_c' ; \quad (23)$$

$$\text{где } \omega_c' = \left( \frac{W}{2} \right)^{\frac{3}{2}} (2\omega_H/E)^{\frac{1}{2}} E.$$

III. Вблизи перехода, наблюдаемого при данном магнитном поле (в отсутствие поля — диэлектрическая фаза, но за счет влияния поля оказываемся вблизи перехода)

$$\left( (\omega_c'/E)^{\frac{1}{2}} = 1 - (\omega_c/E)^{\frac{1}{2}} + \frac{W}{2} (2\omega_H/E)^{\frac{1}{2}} \right) \ll \frac{W}{2} (2\omega_H/E)^{\frac{1}{2}} .$$

$$1. D_2 = \frac{1}{2m} \left\{ -(\omega_c/E)^{\frac{1}{2}} + \frac{W}{2} (2\omega_H/E)^{\frac{1}{2}} \right\} = \frac{1}{2m} (\omega_c'/E)^{\frac{1}{2}},$$

металл

$$(\omega_c/E)^{\frac{1}{2}} < \frac{W}{2} \left( \frac{2\omega_H}{E^{\frac{1}{2}}} \right),$$

$$\omega \ll \omega_c$$

$$2. D_2 = \frac{1}{2m} \left\{ (-i\omega/E)^{\frac{1}{2}} + \frac{2}{3} (\omega_c'/E)^{\frac{1}{2}} \right\}, \quad \omega_c' \ll \omega \ll \omega^* ; \quad (24)$$

$$3. D_2 = \frac{1}{2m} \left\{ (-i\omega/E)^{\frac{1}{2}} + \frac{2}{3} \left[ -(\omega_c/E)^{\frac{1}{2}} + \frac{1}{96} \frac{(2\omega_H/E)^2}{(-i\omega/E)} \right] \right\}, \quad \omega > > \omega^* ;$$

диэлектрик

$$4. D_2 = \frac{1}{2m} \frac{(-i\omega/E)}{(\omega_c'/E)^{\frac{1}{2}}}, \quad (\omega_c'/E)^{\frac{1}{2}} > \frac{W}{2} \left( \frac{2\omega_H}{E} \right)^{\frac{1}{2}},$$

$$\omega \ll \omega_c'$$

$$\text{где } \omega^* = \frac{1}{48W} (2\omega_H/E)^{\frac{1}{2}} E.$$

Следует заметить, что если при малых частотах поправка от магнитного поля к коэффициенту диффузии является корневой, то начиная с частоты порядка  $\omega^*$  она становится квадратичной по полю. Однако в отличие от классического случая квадратичная поправка увеличивает проводимость и существенно больше классической.

Сравнивая уравнения (7) и (8) легко понять, что результаты для обычного коэффициента диффузии в диффузационном канале  $D_1$  будут такими же, как и для  $D_2$ , только коэффициент  $\frac{3\lambda x_0}{1 + 3\lambda x_0}$ , стоящий в квадратных скобках в поправке по полю для  $D_2$ , сменится на  $\frac{1}{1 + 3\lambda x_0}$  для  $D_1$ .

**2. Верхнее критическое поле вблизи перехода Андерсона  
(в отсутствие влияния магнитного поля на коэффициент диффузии)**

В случае пренебрежения обратным влиянием магнитного поля на коэффициент диффузии  $D_1 = D_2 = D$  и в уравнении (19) пренебрегаем поправкой от магнитного поля  $\Delta_2$ . В этом случае уравнение (19) совпадает с обычным уравнением на коэффициент диффузии, получаемом на основе самосогласованной теории локализации в форме, предложенной Фоллхардом и Вольфле [7, 8].

**A. Металлическая область**

Коэффициент диффузии имеет вид:

$$D(\omega) = \frac{1}{2m} \begin{cases} (\omega_c/E)^{\frac{1}{3}} & \omega \ll \omega_c \\ (-i\omega/E)^{\frac{1}{3}} & \omega \gg \omega_c \end{cases} \quad (25)$$

В металлической области характерную частоту удобно выразить через коэффициент диффузии при нулевой частоте.

$$\omega_c = [2mD(0)]^{\frac{1}{3}}E. \quad (26)$$

1) Суммирование по мацубаровским частотам в (9) должно обрезаться на частотах порядка характерной частоты квантов, обеспечивающих спаривание —  $\langle \omega \rangle$ . Поэтому в случае когда  $\omega_c > \langle \omega \rangle$  или  $D(0) > \frac{1}{2m} (\langle \omega \rangle/E)^{\frac{1}{3}}$  мы можем полностью пренебречь частотной зависимостью коэффициента диффузии и получаем обычный для теории "грязных" сверхпроводников результат —

$$H_{c2} = \frac{4}{\pi^2} \frac{\Phi_0}{D(0)} T \ln(T_c/T) \text{ при } T \sim T_c; \quad (27)$$

$$H_{c2} = \frac{1}{2\gamma} \frac{\Phi_0 T_c}{D(0)} \left[ 1 - \frac{1}{24} (4\gamma T/T_c)^2 \right] \text{ при } T \ll T_c, \quad (28)$$

где  $\gamma = 1,781$ .

Для наклона кривой  $H_{c2}(T)$  в этом случае имеем обычное выражение Горькова:

$$-\frac{\sigma}{N(E)} (dH_{c2}/dT)_{T_c} = \frac{8}{\pi^2} e^2 \Phi_0; \quad (29)$$

$$-\frac{H_{c2}(0)}{T_c(dH_{c2}/dT)_{T_c}} = \frac{\pi^2}{8\gamma} \approx 0,69, \quad (30)$$

где  $\sigma = 2e^2 D(0) N(E)$  — проводимость системы в нормальном состоянии.

Кривая  $H_{c2}(T)$  в этом случае выпуклая во всей области температур.

2) Если характерная частота  $\omega_c \ll 2\pi T$  или  $D(0) \ll \frac{1}{2m} (2\pi T/E)^{\frac{1}{3}}$ , то мацубаровские частоты больше характерной частоты и во всей области суммирования по ним для коэффициента диффузии нужно использовать нижнее выражение из (25).

Уравнение (9) в этом случае приобретает вид:

$$\ln(T/T_c) = \sum_{n=0}^{\infty} [(n + 1/2) + (n + 1/2)^{\frac{1}{3}} (E/4\pi T)^{\frac{1}{3}} (\omega_H/E)]^{-1} - [n + 1/2]^{-1}. \quad (31)$$

Отсюда находим:

$$H_{c2} = m \frac{\Phi_0}{\pi} \frac{(4\pi)^{2/3}}{c_1} T^{2/3} E^{1/3} \ln(T_c/T) \text{ при } T \sim T_c; \quad (32)$$

$$H_{c2} = m \frac{\Phi_0}{\pi} (\pi/\gamma)^{2/3} T_c^{2/3} E^{1/3} \left[ 1 - \frac{2}{3} c_2 (4\gamma T/T_c)^{2/3} \right] \text{ при } T \ll T_c, \quad (33)$$

где  $c_1 = \sum_{n=0}^{\infty} (n + 1/2)^{-5/3} \approx 4,615$ ;  $c_2 \approx 0,259$ .

В точке андерсоновского перехода  $\omega_c = 0$ , и поведение верхнего критического поля полностью описывается случаем 2). Легко заметить, что в этом случае кривая  $H_{c2}(T)$  будет вогнутой во всей области температур. Наклон кривой вблизи  $T_c$  вместо горьковского выражения (29) будет следующим:

$$-\frac{1}{N(E)} (dH_{c2}/dT)_{T_c} = \frac{(4\pi)^{2/3}}{\pi c_1} m \Phi_0 (E/T_c)^{1/3} = \frac{2\pi}{c_1} \frac{\Phi_0}{(N(E)T_c)^{1/3}}. \quad (34)$$

Как отмечалось в [5, 6], наклон перестает зависеть от величины проводимости системы в нормальном состоянии. Аналогично [5, 6] получаем:

$$-\frac{H_{c2}(0)}{T_c (dH_{c2}/dT)_{T_c}} = \frac{c_1}{(4\gamma)^{2/3}} \approx 1,24. \quad (35)$$

Как видим, это отношение существенно возрастает по сравнению со значением 0,69 (30), характерным для "грязных" сверхпроводников.

3) Рассмотрим промежуточную область  $2\pi T \ll \omega_c \ll \langle \omega \rangle$ . Введем  $n_0 = \omega_c/4\pi T$ . На уровнях с номером меньше  $n_0$  коэффициент диффузии не зависит от частоты. На уровнях с номером большим  $n_0$  коэффициент диффузии  $\sim \omega^{1/3}$  в этом случае уравнение (9) принимает вид:

$$\begin{aligned} \ln(T/T_c) &= \sum_{n=0}^{n_0-1} [(n + 1/2) + (\omega_c/E)^{1/3}(\omega_H/4\pi T)]^{-1} + \\ &+ \sum_{n=n_0}^{\infty} [(n + 1/2) + (n + 1/2)^{1/3}(E/4\pi T)^{2/3}(\omega_H/E)]^{-1} - \sum_{n=0}^{\infty} [n + 1/2]^{-1}. \end{aligned} \quad (36)$$

Решая это уравнение, получаем для верхнего критического поля следующие выражения:

$$H_{c2} = \frac{4}{\pi^2} \frac{\Phi_0}{D(0)} T \ln(T_c/T) \left[ 1 - \frac{4}{\pi} T/\omega_c \right] \text{ при } T \sim T_c; \quad (37)$$

$$\begin{aligned} H_{c2} &= \frac{1}{2\gamma} \frac{\Phi_0 T_c}{D(0)} \left[ 1 - \frac{1}{24} (4\gamma T/T_c)^2 - \right. \\ &\left. - \frac{1}{2} (4\pi T/\omega_c) - \frac{\pi}{2\gamma} (T_c/\omega_c) \right] \text{ при } T \ll T_c \ll \omega_c. \end{aligned} \quad (38)$$

В этом случае поведение  $H_{c2}(T)$  будет почти таким же, как и в случае обычных

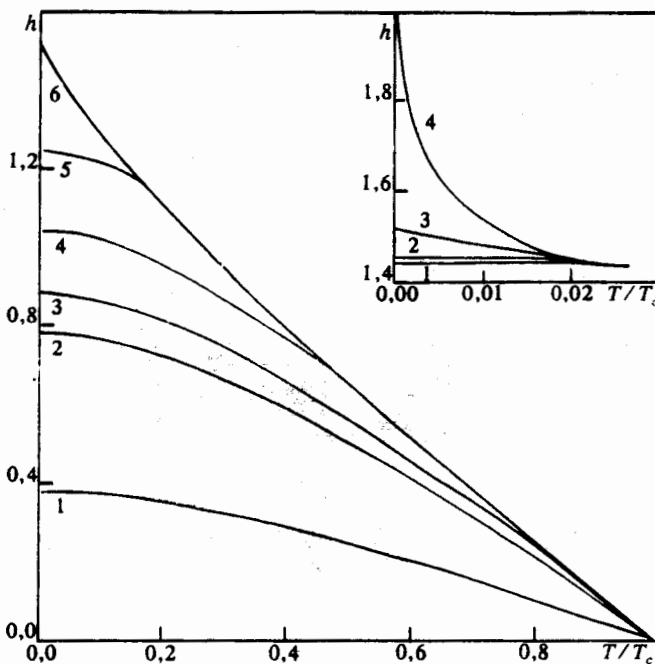


Рис. 2. Температурная зависимость верхнего критического поля  
На основной части:

Приведен результат численного расчета непосредственно из уравнения (9) в отсутствие влияния поля на диффузию для величины  $h = \omega_H/T_c^{2/3}E^{1/3}$  от  $T/T_c$  в металлической фазе при различных значениях  $\omega_c/T_c$ : 1. 100; 2. 10; 3.  $2\pi$ ; 4. 3; 5. 1; 6. ○ — точка андерсоновского перехода.

На вставке:

Низкотемпературная часть зависимости  $h = \omega_H/T_c^{2/3}E^{1/3}$  от  $T/T_c$  в окрестности Андерсоновского перехода.

1. Точка Андерсоновского перехода ( $\omega_c/T_c = 0$ ). С учетом влияния поля на диффузию.
2. Металлическая фаза,  $\omega_c/T_c = 0,1$ . В отсутствие влияния поля на диффузию.
3. Точка Андерсоновского перехода ( $\omega_c/T_c = 0$ ). В отсутствие влияния поля на диффузию.
4. Дизлектрическая фаза,  $\omega_c/T_c = 0,1$ . В отсутствие влияния поля на диффузию.

“грязных” сверхпроводников. Немного изменяется лишь величины поправок.

$$H_{c2} = m \frac{\Phi_0}{\pi} (\pi/\gamma)^{2/3} T_c^{2/3} E^{1/3} \left[ 1 - \frac{1}{3} (\gamma \omega_c / \pi T_c)^{2/3} - \frac{4}{3} \pi^{1/3} \gamma^{2/3} (T/T_c^{2/3} \omega_c^{1/3}) \right] \quad (39)$$

при  $2\pi T \ll \omega_c \ll 2\pi T_c$ .

В этом случае поведение верхнего критического поля при низких температурах близко к поведению в точке перехода (см. случай 2)), однако температурные поправки приводят к тому, что  $H_{c2}(T)$  в этой области параметров — выпуклая.

На рис. 2 приведены результаты численного расчета верхнего критического поля в металлической фазе для разных величин характерной частоты. (При обрезании ряда в (9) выбиралось  $\langle \omega \rangle = 100T_c$ ).

Резюмируем полученные результаты:

- а) При малом беспорядке  $\omega_c > \langle \omega \rangle$  получаем обычный случай “грязных” сверхпроводников (см. случай 1)). (кривая 1. Рис. 2)
- б) В предельном случае точки андерсоновского перехода получаем поведение  $H_{c2}(T)$ , описанное в 2). (кривая 6. Рис. 2)

в) При  $2\pi T_c \ll \omega_c \ll (\omega)$  или  $D(0) \gg \frac{1}{2m} (2\pi T_c/E)^{1/3}$ ;  $\sigma > > \sigma^*$ , где

$$\sigma^* = \frac{e^2 N(E)}{2m} (2\pi T_c/E)^{1/3} - \sigma_c (p_F \xi_0)^{-1/3} [5,6] \quad (40)$$

$\sigma_c = e^2 p_F / \pi^3 \hbar^2$  — моттовская минимальная металлическая проводимость.

Для верхнего критического поля получаем следующие выражения:

$$H_{c2} = \begin{cases} \frac{4}{\pi^2} \frac{\Phi_0}{D(0)} T \ln(T_c/T) \left[ 1 - \frac{4}{\pi} T/\omega_c \right]; & T \sim T_c \\ \frac{1}{2\gamma} \frac{\Phi_0 T_c}{D(0)} \left[ 1 - \frac{1}{24} (4\gamma T/T_c)^2 - \frac{1}{2} (4\pi T/\omega_c) - \frac{\pi}{2\gamma} (T_c/\omega_c) \right] & T \ll T_c \end{cases} \quad (41)$$

Наклон кривой в этом случае:

$$-\frac{\sigma}{N(E)} (dH_{c2}/dT)_{T_c} = \frac{8}{\pi^2} e^2 \Phi_0 \left[ 1 - \frac{4}{\pi} T_c/\omega_c \right], \quad (42)$$

а отношение

$$-\frac{H_{c2}(0)}{T_c(dH_{c2}/dT)_{T_c}} = \frac{\pi^2}{8\gamma} \left[ 1 + \frac{1}{2} \left( \frac{8}{\pi} - \frac{\pi}{\gamma} \right) \frac{T_c}{\omega_c} \right] \approx 0,69 \left[ 1 + 0,78 \frac{T_c}{\omega_c} \right]. \quad (43)$$

Эти величины несколько отличаются от обычных выражений для "грязных" сверхпроводников поправками, стоящими в квадратных скобках.

Кривая  $H_{c2}(T)$  будет выпуклой во всей области температур.

Видим, что в этой области беспорядка поведение  $H_{c2}(T)$  незначительно отличается от поведения обычных "грязных" сверхпроводников. Этому случаю соответствует кривая 2 на рис. 2.

г) При  $\omega_c \ll 2\pi T_c$  или  $\sigma^* \ll \sigma^*$

$$H_{c2} = \begin{cases} m \frac{\Phi_0}{\pi} \frac{(4\pi)^{1/3}}{c_1} T^{1/3} E^{1/3} \ln(T_c/T) & \text{при } T \sim T_c \\ m \frac{\Phi_0}{\pi} (\pi/\gamma)^{1/3} T_c^{1/3} E^{1/3} \left[ 1 - \frac{2}{3} c_2 (4\gamma T/T_c)^{1/3} \right] & \text{при } \omega_c \ll 2\pi T_c \\ m \frac{\Phi_0}{\pi} (\pi/\gamma)^{1/3} T_c^{1/3} E^{1/3} \left[ 1 - \frac{1}{3} (\gamma \omega_c / \pi T_c)^{1/3} - \frac{4}{3} \pi^{1/3} \gamma^{1/3} (T/T_c^{1/3} \omega_c^{1/3}) \right] & \text{при } 2\pi T \ll \omega_c \end{cases} \quad (44)$$

Этому случаю соответствуют кривые 4 и 5 на рис. 2.

При  $2\pi T > \omega_c$  мы имеем ту же кривую что и в точке перехода, так как коэффициент диффузии во всей области частот  $\sim \omega^{1/3}$  и не зависит от характерной частоты. На этом участке кривая  $H_{c2}(T)$  вогнута. При  $2\pi T < \omega_c$  кривая  $H_{c2}(T)$  выпуклая. Точка перегиба кривой будет при

$$T = T^* = \omega_c/2\pi = [2mD(0)]^{1/3} E/2\pi. \quad (45)$$

Наклон кривой в точке  $T = T_c$  будет таким же, как и на пороге подвижности (35), а отношение

$$-\frac{H_{c2}(0)}{T_c(dH_{c2}/dT)_{T_c}} = \frac{c_1}{(4\gamma)^{1/3}} \left[ 1 - \frac{1}{3} (\gamma \omega_c / \pi T_c)^{1/3} \right] \approx 1,24 \left[ 1 - \frac{1}{3} (\gamma \omega_c / \pi T_c)^{1/3} \right] \quad (46)$$

будет незначительно меньше чем в точке перехода.

Переходному случаю  $\omega_c = 2\pi T_c$  или  $\sigma = \sigma^*$  соответствует кривая 3, приведенная на рис. 2.

#### Б. Диэлектрическая область

В диэлектрической области (пренебрегая воздействием внешнего магнитного поля на диффузию) коэффициент диффузии имеет следующий вид:

$$D(\omega) = \frac{1}{2m} \begin{cases} (-i\omega/E)/(\omega_c/E)^{2/3} & \text{при } \omega \ll \omega_c \\ (-i\omega/E)^{1/3} & \text{при } \omega \gg \omega_c \end{cases} \quad (47)$$

При частотах  $\omega \ll \omega_c$  коэффициент диффузии можно также представить в виде  $D(\omega) = (-i\omega)R_{loc}^2$ , тогда характерная частота принимает вид:

$$\omega_c = E/(2mER_{loc}^2)^{1/2} = 1/2\pi^2 N(E) R_{loc}^3. \quad (48)$$

Поэтому условие существования сверхпроводимости в фазе андерсоновского диэлектрика (1) эквивалентно требованию  $\omega_c \ll T_c$ . Этим условием мы и ограничим наше рассмотрение.

1) При  $\omega_c \ll 2\pi T$  коэффициент диффузии для любых мацубаровских частот будет  $-\omega^{1/3}$  и критическое поле будет таким же, как на пороге подвижности (см. случай 2) в металлической области).

2) При  $2\pi T \ll \omega_c \ll 2\pi T_c$  уравнение (9) для верхнего критического поля принимает вид:

$$\ln(T/T_c) = \sum_{n=0}^{n_0-1} [(n + 1/2)(1 + (E/\omega_c)^{2/3}(\omega_H/E))]^{-1} + \\ + \sum_{n=n_0}^{\infty} [(n + 1/2) + (n + 1/2)^{1/3}(E/4\pi T)^{2/3}(\omega_H/E)]^{-1} - \sum_{n=0}^{\infty} [n + 1/2]^{-1}, \quad (49)$$

где  $n_0 = \omega_c/4\pi T$  — номер уровня вблизи которого происходит смена частотного поведения коэффициента диффузии. Вводя  $x = \omega_H/\omega_c^{2/3}E^{1/3}$ , получаем:

$$x \ln(\gamma\omega_c/\pi T_c) + \frac{3}{2}(1+x) \ln(1+x) = \ln(T_c/T). \quad (50)$$

Выражение (50) неявным образом задает  $H_{c2}(T)$  и позволяет сделать вывод, что в диэлектрической области орбитальное верхнее критическое поле становится бесконечным при  $T \rightarrow 0$ . (В дальнейшем мы покажем, что учет обратного влияния магнитного поля на коэффициент диффузии снимает эту расходимость). Численное решение для  $H_{c2}(T)$  непосредственно из уравнения (49) с обрезанием на частоте  $\langle\omega\rangle = 100T_c$  приведено на вставке рис. 2, кривая 4 для случая  $\omega_c = 0,1T_c$ .

#### 3. Верхнее критическое поле вблизи перехода Андерсона: учет влияния магнитного поля на коэффициент диффузии

##### A. Металлическая (при $H = 0$ ) область.

Если мы находимся вдали от андерсоновского перехода, то влияние магнитного поля на коэффициент диффузии будет лишь малой по сравнению с  $D(H=0)$  поправкой порядка  $\sim \sqrt{\omega_H/E} D_0$  и слабо скажется на верхнем критическом поле. Вблизи же от перехода поправка от поля начинает превосходить саму величину  $D(H=0)$

и ее учет необходим. Поэтому мы ограничимся случаем  $\omega_c/E \ll (\omega_H/E)^{1/3}$  величина коэффициента диффузии для которого приведена в (23). Как будет показано в дальнейшем, влияние магнитного поля на коэффициент диффузии оказывает незначительное влияние на  $H_{c2}$  даже при низких температурах, поэтому  $\omega_H \sim T_c^{1/3} E^{1/3}$  и условие близости к переходу Андерсона принимает вид:

$$\omega_c \ll (\omega_H/E)^{1/3} E \sim T_c. \quad (51)$$

Что эквивалентно в металлической фазе условию  $\sigma \ll \sigma^*$ .

Как видно из (23) в данном случае роль характерной частоты принимает на себя  $\omega_c'$ .

$$\omega_c' = \left(\frac{W}{2}\right)^3 (2\omega_H/E)^{1/3} E = (\varphi\omega_H/E)^{1/3} E, \quad (52)$$

где  $W = 0,603$ ;  $\varphi = W^2/2 \approx 0,18$ .

Так что мы можем воспользоваться уже полученными результатами подставив  $\omega_c'$  вместо  $\omega_c$ .

Максимальное значение  $\omega_c'$  определяется критическим полем при  $T \rightarrow 0$ , то есть  $\omega_{c\max}' = \varphi^{1/2} \frac{\pi}{\gamma} T_c \approx 0,13 T_c$ . При  $T \sim T_c$  значение критического поля, а значит и характерной частоты, еще меньше, то есть мы имеем случай  $\omega_c' < 2\pi T_c$  и при  $T \sim T_c$  критическое поле будет таким же, как и без учета влияния поля на коэффициент диффузии и определяться выражением (32). (На самом деле поправка от магнитного поля имеется и в области, где коэффициент диффузии  $\sim \omega^{1/3}$  (см. (23)), однако величина этой поправки много меньше  $D(H=0)$ , и изменение  $H_{c2}$  будет незначительным). Соответственно сохраняется выражение (34) для наклона кривой  $H_{c2}(T)$  при  $T = T_c$ .

Рассмотрим случай  $T \ll T_c$ .

При  $2\pi T > \omega_c'$  во всей области частот по которым идет суммирование  $D(\omega) \sim \omega^{1/3}$ . Поправкой от магнитного поля в этом случае можно пренебречь. Следовательно,  $H_{c2}(T)$  ведет себя так же, как в точке перехода без учета влияния поля на коэффициент диффузии (см. (33)).

При  $2\pi T < \omega_c'$  уравнение для нахождения  $H_{c2}(T)$  принимает вид (36), в котором вместо  $\omega_c$  необходимо подставить  $\omega_c'$ . В результате:

$$H_{c2} = m \frac{\Phi_0}{\pi} (1 + \varphi)^{-1/3} (\pi/\gamma)^{1/3} T_c^{1/3} E^{1/3} \left[ 1 - \frac{4\gamma}{3\varphi^{1/3}(1 + \varphi)} (T/T_c) \right]. \quad (53)$$

Из (53) видно, что  $H_{c2}(T=0)$  меняется очень незначительно на коэффициент  $(1 + \varphi)^{-1/3} \approx 0,946$ . Так же незначительно изменяется и отношение (35).

$$-\frac{H_{c2}(0)}{T_c(dH_{c2}/dT)_{T_c}} = (1 + \varphi)^{-1/3} \frac{c_1}{(4\gamma)^{1/3}} \approx (1 + \varphi)^{-1/3} 1,24 \approx 1,18. \quad (54)$$

Однако при  $2\pi T < \omega_c'$  кривая  $H_{c2}(T)$  становится выпуклой. Точка перегиба кривой  $T^* = \omega_c'/2\pi \approx 0,02 T_c$ . Кривая I на вставке рис. 2 соответствует поведению  $H_{c2}(T)$  в точке перехода с учетом влияния поля на диффузию.

Б. Диэлектрическая (при  $H=0$ ) область.

Теперь перейдем к рассмотрению верхнего критического поля в диэлектрической области. Как уже отмечалось (см. (50)), без учета влияния магнитного поля на диффузию в диэлектрической фазе орбитальное верхнее критическое поле рассчитывается при  $T \rightarrow 0$ . Сейчас мы покажем, что учет влияния поля на коэффициент диффузии снимает эту рассходимость.

Сверхпроводящий отклик для системы, находящейся в диэлектрической фазе, сохраняется лишь при условии, что в области, ограниченной в пространстве радиусом локализации, лежит достаточно большое число энергетических уровней, такое, что среднее расстояние между ними существенно меньше  $\Delta$ ,  $T_c$ , то есть выполняется условие (1).

$$1/N(E)R_{\text{loc}}^3 \sim \omega_c << T_c. \quad (55)$$

Естественно мы ограничим свое рассмотрение этим условием.

В диэлектрической фазе уравнение для нахождения коэффициента диффузии принимает вид:

$$2mD_2 = -(\omega_c/E)^{\nu_3} + (-i\omega/E)^{\nu_2}(2mD_2)^{-\nu_2} + \\ + \frac{1}{2} \begin{cases} W(2\omega_H/E)^{\nu_2} & \text{при } \omega << \omega^* \\ \frac{1}{48} \left( (-i\omega/E) \frac{1}{2mD_2} \right)^{-\nu_2} (2\omega_H/E)^2 & \text{при } \omega >> \omega^*, \end{cases} \quad (56)$$

где

$$\omega^* = (1/48W)^{\nu_3} |2mD_2(\omega^*)| 2\omega_H. \quad (57)$$

Предположим, что поле настолько сильное, что переводит систему из диэлектрической фазы в металлическую и что квадратичные поправки по полю появляются только в области частот, где коэффициент диффузии  $\sim \omega^{\nu_3}$  и почти не зависит от характерной частоты  $\omega_c'$ . При этих предположениях коэффициент диффузии принимает вид:

$$D_2(\omega) = \frac{1}{2m} \begin{cases} (\omega_c'/E)^{\nu_2} & \omega << \omega_c' \\ (-i\omega/E)^{\nu_3} & \omega >> \omega_c' \end{cases}, \quad (58)$$

где

$$(\omega_c'/E)^{\nu_3} = \frac{W}{2} \sqrt{2\omega_H/E} - (\omega_c/E)^{\nu_3}. \quad (59)$$

Используя (58) и (59), легко показать, что  $\omega^* > \omega_c'$ , то есть что при  $\omega < \omega_c'$  поправка от поля к коэффициенту диффузии всегда корневая.

Для перевода системы из диэлектрической фазы в металлическую за счет поля необходимо выполнение условия:

$$\frac{W}{2} \sqrt{2\omega_H/E} > (\omega_c/E)^{\nu_3}. \quad (60)$$

В не слишком сильных полях, переходя в металлическую фазу за счет влияния поля, система остается вблизи перехода металл-диэлектрик. Как видно из предыдущего рассмотрения, отличие в величине верхнего критического поля в точке андерсоновского перехода с учетом влияния поля на диффузию и без него незначительно. Поэтому при низких температурах можно оценить  $\omega_H = (\pi/\gamma)^{\nu_3} T_c^{\nu_3} E^{\nu_3}$ . Тогда условие (60) приводится к виду:

$$\omega_c < \frac{\pi}{\gamma} (W/\sqrt{2})^3 T_c \approx 0,14 T_c. \quad (61)$$

Итак, видим что практически во всей области, где имеет смысл говорить о сверхпроводимости (выполняется условие (55)), верхнее критическое поле фактически

приводит к разрушению локализации и система оказывается в металлической фазе. Соответственно этому пропадает и необходимость верхнего критического поля при  $T \rightarrow 0$ . Кривые  $H_{c2}(T)$  в "диэлектрической фазе" лежат между кривыми  $H_{c2}(T)$  в точке андерсоновского перехода с учетом влияния поля на диффузию (кривая 1 на вставке рис. 2) и без такого учета. (кривая 3 на вставке рис. 2).

#### 4. ЗАКЛЮЧИТЕЛЬНЫЕ ЗАМЕЧАНИЯ: ПРЕДЕЛЫ ПРИМЕНИМОСТИ

В разделе I мы рассмотрели ряд условий применимости уравнения (9). Посмотрим, насколько наше рассмотрение соответствует этим условиям.

1. Условие (10) имеет вид:  $R_H = \frac{nCV_F}{eH} >> \xi$ .

При  $\omega_c \ll 2\pi T_c$  или  $\sigma \ll \sigma^*$  система находится вблизи перехода Андерсона. Верхнее критическое поле в этом случае определяет циклотронную частоту  $\omega_H = (\pi/\gamma)^{1/3} T_c^{2/3} E^{1/3}$ . Корреляционная длина при этом имеет вид  $\xi = (\xi_0 l^2)^{1/3}$  [5,6], а не  $\xi = (\xi_0 l)^{1/2}$  как в обычных "грязных" сверхпроводниках, причем длина свободного пробега  $l$  в этом случае порядка межатомного расстояния, то есть  $l \sim p_F^{-1}$ . Поэтому записанное условие сводится к требованию  $\omega_H \ll T_c^{1/3} E^{1/3}$ , которое очевидно выполняется.

2. Хуже обстоит дело с условием (II), определяющим парамагнитный предел. Действительно, полученное нами выражение для  $H_{c2}$  приводит к оценке  $\omega_H = \Delta^{1/3} E^{1/3} = \Delta(E/\Delta)^{1/3} > \Delta$ .

В то же время парамагнитный предел накладывает ограничение  $\frac{g_0}{2} \mu_B H < \Delta$ .

Поэтому парамагнитный вклад в верхнее критическое поле фактически может оказаться преобладающим. Однако, массы, входящие в циклотронную частоту и в палиевское расщепление, могут быть существенно различными, и в некоторых ситуациях возможно преобладание именно орбитального вклада подавления сверхпроводимости. Вблизи  $T_c$ , когда критическое поле мало, орбитальный вклад всегда преобладающий.

Работа поддерживается Научным советом по проблеме ВТСП и выполняется в рамках конкурсного проекта № 90135.

#### С п и с о к л и т е р а т у р ы

1. Абрикосов А.А., Горьков Л.П. — ЖЭТФ, 1958, т. 35, с. 1158; ЖЭТФ, 1959, т. 36, с. 319.
2. Горьков Л.П. — ЖЭТФ, 1959, т. 37, с. 1407.
3. Anderson P.W. — J. Phys. Chem. Solids, 1959, v. 11, p. 26.
4. Де Жен П. — Сверхпроводимость металлов и сплавов. М. "Мир", 1968. (De Gennes P.G. Superconductivity of Metals and Alloys. W.A.Benjamin, NY, 1966).
5. Булаевский Л.Н., Садовский М.В. — Письма ЖЭТФ, 1984, т. 39, с. 524.
6. Bulaevskii L.N., Sadowkii M.V. — J. Low-Temp. Phys., 1985, v. 59, p. 89.
7. Vollhardt D., Wölfle P. — Phys. Rev. B, 1980, v. 22, p. 4666.
8. Sadowkii M.V. — Soviet Scientist Reviews — Phys. Reviews. Ed. by I.M.Khalatnikov, v. 7, p. 1, Harwood Academic Publ., NY, 1985.
9. Altshuler B.I., Aronov A.G., Khmelnitskii D.E., Larkin A.I. In "Quantum Theory of Solids", Ed by I.M.Lifshits, p. 130, Moscow: Mir Publishers, 1982.
10. Yoshioka D., Ono Y., Fukuyama H. — J. Phys. Soc. Japan, 1981, v. 50, p. 3419.
11. Булаевский Л.Н., Садовский М.В. — Письма ЖЭТФ, 1986, т. 43, с. 76.
12. Булаевский Л.Н., Паников С.В., Садовский М.В. — ЖЭТФ, 1987, т. 92, с. 672.
13. Булаевский Л.Н., Паников С.В., Садовский М.В. — В сб. "Проблемы теоретической физики и астрофизики" (К 70-летию В.Л.Гинзбурга), М: "Наука", 1989, с. 120.
14. Котов Е.А. — ФММ, 1988, т. 66, вып. 3, с. 436.
15. Котов Е.А. — ФММ, 1989, т. 67, вып. 5, с. 859.